

Управление движением автономного транспортного средства по заданной траектории методом NMPC

А.В. Сахаров

1 Модель ТС

Рассматривается четырехколесное автономное транспортное средство (ТС), перемещающееся по горизонтальной шероховатой поверхности. Передняя ось несет два колеса, на которые подаются рулевое управление и привод двигателя. Углы поворота колес (в результате воздействия рулевого управления) различны и определяются по принципу Аккермана (вычисляются в соответствующем разделе). Задняя ось ТС несет два пассивно вращающихся колеса, ось вращения которых совпадает с осью вала.

Введем две системы координат: неподвижную и связанную с ТС. Неподвижная система координат расположена так, что ее оси X, Y, Z образуют правую тройку, причем ось Z направлена вертикально вверх. Связанная с ТС система координат x, y, z расположена таким образом, что ее начало совпадает с центром масс ТС, ось x направлена вдоль продольной оси симметрии (рисунок 1). Предполагается, что в начальный момент времени неподвижная и связанная системы координат совпадали. Пусть \mathbf{e}_x и \mathbf{e}_y — орты осей x и y , \mathbf{v} — вектор скорости центра масс ТС относительно неподвижной системы координат, ω — его угловая скорость. Тогда в базисе $\mathbf{e}_x, \mathbf{e}_y$ имеем:

$$\begin{aligned}\mathbf{v} &= v_x \mathbf{e}_x + v_y \mathbf{e}_y, \\ \dot{\mathbf{v}} &= \dot{v}_x \mathbf{e}_x + \dot{v}_y \mathbf{e}_y + v_x \dot{\mathbf{e}}_x + v_y \dot{\mathbf{e}}_y = (\dot{v}_x - v_y \omega) \mathbf{e}_x + (\dot{v}_y + v_x \omega) \mathbf{e}_y.\end{aligned}$$

Положение ТС определяется координатами x, y его центра масс относительно неподвижной системы координат и углом φ его поворота относительно начальной ориентации. Их изменение определяются кинематическими уравнениями:

$$\dot{x} = v_x \cos \varphi - v_y \sin \varphi, \quad \dot{y} = v_x \sin \varphi + v_y \cos \varphi, \quad \dot{\varphi} = \omega. \quad (1)$$

Запишем теоремы о движении центра масс и изменении кинетического момента ТС:

$$m \dot{\mathbf{v}} = \sum_i \mathbf{F}_i + \mathbf{F}_a + m \mathbf{g}, \quad J \dot{\omega} = \sum_i \mathbf{r}_i \times \mathbf{F}_i, \quad i \in \{fl, fr, rl, rr\}.$$

где m и J — масса и момент инерции ТС, вычисленный относительно оси z , \mathbf{F}_i — результирующая сила, действующая на i -е колесо, \mathbf{r}_i

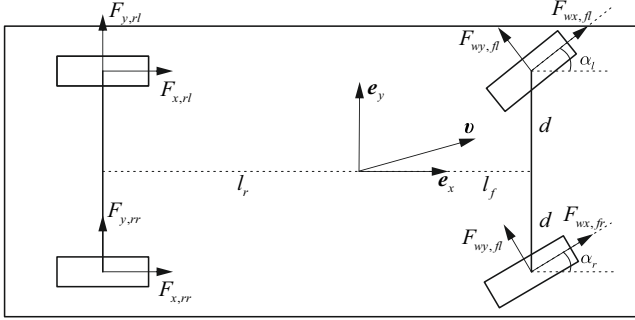


Рис. 1: Модель ТС

— радиус-вектор, проведенный из центра масс ТС к i -й результирующей силе, индексы fl , fr , rl , rr обозначают переднее левое, переднее правое, заднее левое и заднее правое колеса соответственно, \mathbf{F}_a — результирующая сила лобового аэродинамического сопротивления, \mathbf{g} — ускорение свободного падения. Пусть l_f и l_r — расстояние от центра масс до передней и задней оси ТС, соответственно. Запишем результирующие силы и радиус-векторы в связанном с ТС базисе:

$$\begin{aligned}
 \mathbf{F}_{fj} &= (F_{wx,fj} \cos \alpha_j - F_{wy,fj} \sin \alpha_j) \mathbf{e}_x + \\
 &\quad + (F_{wx,fj} \sin \alpha_j + F_{wy,fj} \cos \alpha_j) \mathbf{e}_y, \\
 \mathbf{F}_{rj} &= F_{x,rj} \mathbf{e}_x + F_{y,rj} \mathbf{e}_y, \quad j \in \{l, r\}, \\
 \mathbf{r}_{fl} &= l_f \mathbf{e}_x + d \mathbf{e}_y, \quad \mathbf{r}_{fr} = l_f \mathbf{e}_x - d \mathbf{e}_y, \\
 \mathbf{r}_{rl} &= -l_r \mathbf{e}_x + d \mathbf{e}_y, \quad \mathbf{r}_{rr} = -l_r \mathbf{e}_x - d \mathbf{e}_y, \\
 \mathbf{F}_a &= -C_a v_x^2 \mathbf{e}_x.
 \end{aligned}$$

Предполагается, что поверхность, по которой движется ТС, локально представляется плоскостью. Ориентацию этой плоскости, относительно неподвижной горизонтальной плоскости, будем задавать самолетными углами ψ_x (угол крена) и ψ_y (угол тангажа). Соответствующие матрицы поворота запишутся в виде

$$\mathbf{R}_x = \begin{bmatrix} 1 & 0 & 0 \\ 0 & \cos \psi_x & \sin \psi_x \\ 0 & -\sin \psi_x & \cos \psi_x \end{bmatrix}, \quad \mathbf{R}_y = \begin{bmatrix} \cos \psi_y & 0 & \sin \psi_y \\ 0 & 1 & 0 \\ -\sin \psi_y & 0 & \cos \psi_y \end{bmatrix}.$$

Тогда результирующий вектор силы тяжести действующий на ТС в

связанной системе отсчета будет иметь вид:

$$m\mathbf{g} = \mathbf{R}_x \mathbf{R}_y \begin{bmatrix} 0 \\ 0 \\ -mg \end{bmatrix} = -mg \begin{bmatrix} \sin \psi_y \\ \cos \psi_y \sin \psi_x \\ \cos \psi_y \cos \psi_x \end{bmatrix}$$

На данный момент, плоскость, по которой движется ТС, будем считать горизонтальной ($\psi_x = \psi_y = 0$).

Проецируя векторные уравнения движения на локальный базис связанной с ТС системы координат $\mathbf{e}_x, \mathbf{e}_y, \mathbf{e}_z$, получим:

$$\begin{aligned} \dot{v}_x &= v_y \omega + (F_{wx,fl} \cos \alpha_l - F_{wy,fl} \sin \alpha_l + \\ &+ F_{wx,fr} \cos \alpha_r - F_{wy,fr} \sin \alpha_r + F_{x,rl} + F_{x,rr} - C_a v_x^2) / m, \\ \dot{v}_y &= -v_x \omega + (F_{wx,fl} \sin \alpha_l + F_{wy,fl} \cos \alpha_l + \\ &+ F_{wx,fr} \sin \alpha_r + F_{wy,fr} \cos \alpha_r + F_{y,rl} + F_{y,rr}) / m, \\ \dot{\omega} &= (l_f (F_{wx,fl} \sin \alpha_l + F_{wy,fl} \cos \alpha_l + F_{wx,fr} \sin \alpha_r + \\ &+ F_{wy,fr} \cos \alpha_r) + d (F_{wx,fr} \cos \alpha_r - F_{wy,fr} \sin \alpha_r - \\ &- F_{wx,fl} \cos \alpha_l + F_{wy,fl} \sin \alpha_l) - \\ &- l_r (F_{y,rl} + F_{y,rr}) - d (F_{x,rl} - F_{x,rr})) / J. \end{aligned} \quad (2)$$

Вместе выражения (1) и (2) определяют кинематические и динамические уравнения движения ТС.

2 Модели сил, действующих на колеса

Продольная и поперечная компоненты сил, действующих на передние колеса, вычисляются по формулам:

$$\begin{aligned} F_{wx,fj} &= M/r, \quad F_{wy,fj} = -C_y v_{wy,fj} \\ v_{wy,fj} &= -v_{x,fj} \sin \alpha_j + v_{y,fj} \cos \alpha_j, \quad j \in \{l, r\}, \\ v_{x,fl} &= v_x - \omega d, \quad v_{x,fr} = v_x + \omega d, \quad v_{y,fj} = v_y + \omega l_f \end{aligned} \quad (3)$$

где r — радиус колеса, C_y — коэффициент, отвечающий поперечной жесткости шины, M — момент, подаваемый на передние колеса, $v_{x,i}$ и $v_{y,i}$ — продольная и поперечная компоненты скорости центра i -го колеса, определяемые формулой Эйлера $\mathbf{v}_i = \mathbf{v} + \boldsymbol{\omega} \times \mathbf{r}_i$.

В силу того, что тяга двигателя передается только на передние колеса, силы, действующие со стороны поверхности на шины задних колес, определим следующим образом:

$$F_{x,rj} = 0, \quad F_{y,rj} = -C_y v_{y,rj}, \quad v_{y,rj} = v_y - \omega l_r, \quad j \in \{l, r\}. \quad (4)$$

3 Параметры модели

Параметры модели приведены в таблице. Параметры взяты из книги Particle Filtering and Optimal Control for Vehicles and Robots by Karl Berntorp, страницы mathworks, а также оценивались исходя из физических представлений о движении ТС.

Параметр	Величина	Единица измерения
m	2100	кг
J	3900	кг · м ²
l_f	1.3	м
l_r	1.5	м
d	0.8	м
r	0.3	м
C_y	10 ⁴	кг / с
C_a	0.5	кг / м

4 Принцип Аккермана

Вычислим углы α_l и α_r поворота левого и правого передних колес ТС как функции угла эффективного поворота ТС α . Координаты мгновенного центра скоростей ТС (в связанной с ТС системе координат) $x_C = -l_r$, $y_C = R$. Тогда:

$$\tan \alpha = \frac{l_r + l_f}{R}, \quad \tan \alpha_l = \frac{l_r + l_f}{R - d}, \quad \tan \alpha_r = \frac{l_r + l_f}{R + d},$$

откуда получаем:

$$\begin{aligned} \alpha_l &= \arctan \left(\frac{(l_r + l_f) \tan \alpha}{l_r + l_f - d \tan \alpha} \right), \\ \alpha_r &= \arctan \left(\frac{(l_r + l_f) \tan \alpha}{l_r + l_f + d \tan \alpha} \right). \end{aligned} \tag{5}$$

Предполагается, что вспомогательный угол α изменяется в пределах от $-\pi/3$ до $\pi/3$. График зависимости углов α_l и α_r от α представлен на рисунке 2.

5 Задача управления

Вектор состояния и управления в модели:

$$\mathbf{x} = [x \quad y \quad \varphi \quad v_x \quad v_y \quad \omega]^T, \quad \mathbf{u} = [\alpha \quad M]^T$$

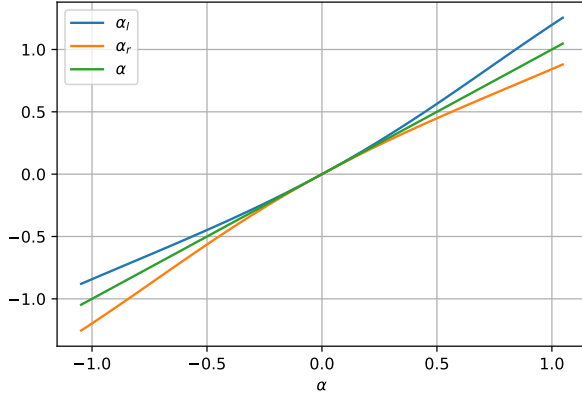


Рис. 2: Угол поворота левого α_l и правого α_r колес в зависимости от эффективного угла поворота α

Эволюция вектора состояния модели определяется уравнениями (1), (2), используя при этом уравнения (3), (4), (5).

Задача проведения ТС по заданной траектории состоит в минимизации разницы $x(t) - x_{ref}(t)$ и $y(t) - y_{ref}(t)$, где $x_{ref}(t), y_{ref}(t)$ — заданная на плоскости траектория. Пусть

$$\mathbf{x}_{ref} = \begin{bmatrix} x_{ref} \\ y_{ref} \\ 0 \\ 0 \\ 0 \\ 0 \end{bmatrix}$$

и $\mathbf{e}(t) = \mathbf{x}(t) - \mathbf{x}_{ref}(t)$. Для решения этой задачи минимизируется функционал:

$$\begin{aligned} & \min_{\mathbf{u} \in \mathcal{PC}(\mathcal{U})} J(\mathbf{e}, \mathbf{u}, t_k), \\ J(\mathbf{e}, \mathbf{u}, t_k, \mathbf{x}(t_k)) &= \sum_{i=0}^{N-1} \mathbf{e}(t_k + i\Delta t)^T \mathbf{Q} \mathbf{e}(t_k + i\Delta t) + \\ & + \mathbf{u}(t_k + i\Delta t)^T \mathbf{R} \mathbf{u}(t_k + i\Delta t) + \mathbf{e}(t_k + N\Delta t)^T \mathbf{Q}_f \mathbf{e}(t_k + N\Delta t), \end{aligned}$$

при следующих ограничениях:

$$\mathbf{x}(t_k + T) = \mathbf{x}(t_k) + \int_{t_k}^{t_k+T} \mathbf{f}(\mathbf{x}(t), \mathbf{u}(t)) dt, \quad \forall T \in [t_k, t_k + N\Delta t],$$

$$x(0) = x_{ref}(0), \quad y(0) = y_{ref}(0), \quad \varphi(0) = \arctan \frac{dy_{ref}(0)}{dx_{ref}(0)},$$

$$v_x(0) = v_y(0) = \omega(0) = 0,$$

$$\mathbf{x} \in \mathcal{X} = \{x \in \mathcal{X}_x, y \in \mathcal{X}_y\},$$

$$\mathbf{u} \in \mathcal{U} = \{-\pi/3 \leq \alpha \leq \pi/3, -10^5 \leq M \leq 4 \cdot 10^3\}.$$

где $\mathcal{X}_x, \mathcal{Y}_y$ — возможные положения центра масс ТС на плоскости. Непрерывное время t заменяется дискретными отсчетами $t_k = k\Delta t$, где $k \in \{0, 1, 2, \dots\}$. Диагональные квадратные матрицы $\mathbf{Q}, \mathbf{Q}_f, \mathbf{R}$ задают соответствующие квадратичные формы:

$$\mathbf{Q} = \mathbf{Q}_f = \text{diag} [1 \quad 1 \quad 0 \quad 0 \quad 0 \quad 0],$$

$$\mathbf{R} = \text{diag} [0 \quad 0].$$